



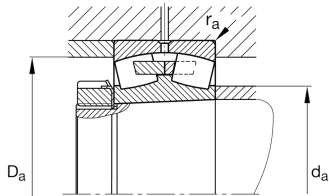
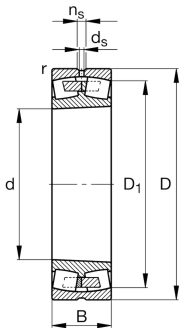
FAG

**23332-BEA-XL-MB1-H40-T41A**

Rodamiento oscilante de rodillos

X-life

## Información técnica



## Variante de su producto actual

Ejecución	BEA	Con anillo de labio sin centro
Tipo de agujero	Z	Cilíndrico
Jaula	MB1	Jaula maciza de latón
Juego radial del rodamiento	C4 (Group 4)	Internal clearance larger than C3
Función de relubricación	H40	Sin ranuras y agujeros de lubricación
Rodamiento oscilante de rodillos para cribas vibratorias	T41A	Para cribas vibratorias

## Medidas principales y datos de rendimiento

d	160 mm	Diámetro del agujero
D	340 mm	Diámetro exterior
B	136 mm	Anchura
C <sub>r</sub>	2.000.000 N	Capacidad de carga dinámica, radial
C <sub>0r</sub>	2.370.000 N	Capacidad de carga estática, radial
C <sub>ur</sub>	186.000 N	Límite de carga por fatiga, radial
n <sub>G</sub>	2.010 1/min	Velocidad límite de rotación
≈m	59,3 kg	Peso



### Medidas de montaje

$d_{a \min}$	192 mm	Diámetro mínimo resalte del eje
$D_{a \max}$	323 mm	
$r_{a \max}$	3 mm	Radio máximo de la ranura

### Medidas

$r_{\min}$	4 mm	Medidas mínimas del chaflán
$D_1$	280,8 mm	Diámetro del agujero del anillo exterior

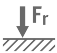
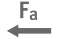

### Rango de temperatura

$T_{\min}$	-30 °C	Temperatura mín. de funcionamiento
$T_{\max}$	200 °C	Temperatura máx. de funcionamiento

### Factores de cálculo

$e$	0,42	Valor límite de $F_a/F_r$ para la aplicabilidad de dif. Valores de los factores X e Y
$Y_1$	1,6	Factor de carga axial dinámica
$Y_2$	2,38	Factor de carga axial dinámica
$Y_0$	1,56	Factor de carga axial estática

### Características

	Carga radial
	Carga axial en un sentido
	Carga axial en ambos sentidos
	No obturado
	Gran rodamiento
	Errores de alineación estáticos
	Errores de alineación dinámicos